

\* التوصيف المظهي والجزئي لبكتيريا *Streptococcus mutans* المعزولة من الفم وإختبار قدرتها على تكوين الأغشية الحيوية ومقاومتها للمضادات الحيوية

تاريخ القبول 2014/6/8

تاريخ الاستلام 2014/3/12

ماجد كاظم عبود الشبلي  
قسم علوم الحياة – كلية التربية  
جامعة القادسية

عدنان حمد الحمداني  
فرع الأحياء المجهرية – كلية الطب  
جامعة القادسية

وفاء عبد الواحد جحيل الكعبي  
قسم علوم الحياة – كلية التربية  
جامعة القادسية  
[alkaaby@yahoo.com](mailto:alkaaby@yahoo.com)

الخلاصة:

تم عزل 479 عزلة بكتيرية من 409 مسحة من سطوح الأسنان واللهة للمرضى المراجعين من كلا الجنسين وبأعمار مختلفة للماركز الشخصية وعيادات الأسنان في مدينة الديوانية بعد أن شُخصوا سريرياً بإلتهابات الفم (الأسنان واللهة) من قبل الأطباء المختصين لمدة من 1/11/2012م ولغاية 1/3/2013م.

شُخصت العزلات البكتيرية باستخدام جهاز الفايكتك إلى موجبة وسالبة لصبغة كرام تصدرتها بكتيريا المكورات السببية *Streptococcus spp.* بأعلى نسبة بلغت 31.52% تلتها بكتيريا المكورات العنقودية *Staphylococcus spp.* بنسبة 20.45% وبكتيريا غصيات الحليب *Lactobacillus spp.* بنسبة 12.52% ثم خميره *Candida spp.* بنسبة 10.64%، وتالت بعدها بعض البكتيريا التي أحرزت نسباً قليلة مقارنة بالبكتيريا المذكورة، كما أحرزت بكتيريا المكورات السببية العشاشة *Streptococcus mutans* من بين الأنواع البكتيرية المعزولة من سطوح الأسنان واللهة أعلى ترداداً في عدد العزلات (56 عزلة) وأختبرت قدرتها جميعها على تكوين الغشاء الحيوي؛ إذ كانت 44 عزلة (44.64%) عالية التكثين له و 16 عزلة (28.57%) متوسطة التكثين و 15 عزلة (26.79%) عديمة التكثين للغشاء الحيوي. وظهر تأثير الكربوهيدرات واضحًا على عزلات *S. mutans* في تكوينها للغشاء الحيوي على وسط النمو؛ إذ بلغت نسبتها بوجود السكروروز 35.7% تلاه الكلوكوز مع الفركتوز معاً في الوسط نفسه بنسبة 25.00% ثم الكلوكوز (16.07%) والفركتوز (12.50%), بينما بلغت نسبتها بغياب الكربوهيدرات في وسط النمو 10.71%. أختبرت الحساسية الوراثية لعزلات *S. mutans* تجاه 11 مضاداً حيوياً باستخدام طريقة الإنتشار بالأقراص التي أوضحت أن مقاومة العزلات للمضاد الإرثرومایسين قبل وبعد تكوينها للغشاء الحيوي؛ حيث بلغت مقاومة العزلات لمضاد الإرثرومایسين قبل وبعد تكوينها للغشاء الحيوي (94.64 و 98.21%) والأموکسیسلین (85.71%) لـ *إ. كـ* (80.35 و 83.92%) وحامض النالیدسـ (80.35 و 87.50%) والسيفوتاكسیم (69.64 و 75.00%) والكلورامفینیکول (69.64 و 89.28%) والأموکسیسلین – حامض الكلافیولانـ (58.92 و 76.78%) والجنتاماکسین (57.14 و 78.57%) والتراـسـایکلین (55.35 و 66.07%) لكـلـ منهاـ علىـ التـوـالـيـ، فيما أظهرت حساسيتها العالية لمضادـيـ الأمـيكـاسـين (48.21 و 25.00%) والتـراـيمـیـثـوـبـارـایـمـ سـلـافـامـیـٹـاـکـسـیـلـ (7.14 و 19.64%) لكـلـ منهاـ علىـ التـوـالـيـ.

أختبرت 12 عزلة منتخبة من 56 عزلة من *S. mutans*؛ باعتبارها منتجة للغشاء الحيوي وأكثر مقاومة للمضادات الحيوية وإمتلاكها لمورثة *16S rRNA* التي تمثل المورثة التشخيصية لها باستعمال تقنية تفاعل سلسلة إنزيم البلمرة (PCR)، كما بيـنـت نتائج تتابع تسلسل الحامض النووي للمورثـ DNA المحافظ (16S rRNA) في عزلات *S. mutans* المكونة للأغشـيةـ الحيـويـ وبوسـاطـةـ تـحلـيلـ الشـجـرةـ الـورـاثـيـةـ لـذـكـ المـؤـرـثـ، ظـهـرـ تـشـابـهـ بـيـنـ سـالـلةـ *S. mutans*ـ المـحلـيةـ معـ السـالـلةـ الـقـيـاسـيـةـ الـأـسـبـانـيـةـ (AJ554208.1)ـ فيـ المـوقـعينـ الـنيـوكـلـيـوـتـيـدـيـنـ 14ـ وـ 15ـ.

Microbiology Classification QR<sub>1</sub> -74.5

كلمات مفتاحية: التوصيف المظهي، المكورات السببية، الأغشية الحيوية، المضادات الحيوية، التوصيف الجزيئي

\* البحث مستقل من أطروحة دكتوراه للباحث الأول.

الغشاء الحيوي والتبيير الجيني لعوامل الضراوة لبكتيريا *S. mutans*<sup>(8)</sup>.

- هدف الدراسة Aim of study** يتضمن الخطوات التالية:
- 1- عزل البكتيريا المسببة لحالات أحمال الفم وتشخيصها بالطرق الروتينية.
  - 2- اختبار قدرة *S. mutans* على تكوين الغشاء الحيوي مختبرياً في مستويات وأنواع مختلفة من السكريات وتوكيد تشخيص *S. mutans* جزيئياً باستخدام مورثة *16S rRNA*.
  - 3- تحليل تسلسل نيكوتينات الحامض النووي DNA المضخم لبكتيريا *S. mutans* مع مورثة *16S rRNA* باستخدام جهاز DNA sequencer.

#### المواد وطريق العمل Materials and Methods

##### Collection of samples

أولاً: جمع العينات

جمعت 479 عزلة بكتيرية من 409 مسحة من سطوح الأسنان والثلاة للمرضى المصابين بأحمال الفم والأسنان الذين راجعوا المراكز التخصصية وعيادات الأسنان في مدينة الديوانية ومن كلا الجنسين وبأعمار مختلفة لمدة أربعة أشهر امتدت من (3/1/2012 م) حتى (3/1/2013 م)؛ إذ أخذت المسحات بإشراف الطبيب المختص واستُخدمت المسحاتقطنية الحاوية على وسط ناقل (Transport media) في عملية جمع العينات لضمان حيوية العزلات.

##### Bacterial isolation and identification

###### A. العزل Isolation

زرعت عينات المسحاتقطنية Swabs المأخوذة من أحمال الفم بعد أن تم حضنها بدرجة حرارة 37°C لمدة 24 ساعة لعرض تنشيط البكتيريا بطريقة التخطيط على الأوساط الزرعية الإغاثية كوسط أكاك الدم والماسكونكي بطريق زراعة هموائي واللاهوائي، وحضرت الأطباق لمدة 24 ساعة بدرجة حرارة 37°C وبعد إكمال عملية الحضن أجريت الفحوصات المظهرية والكيم giofia.

###### B. التشخيص بنظام الفايتاك Vitek compact2 system diagnosis

يُعد نظام الفايتاك من الأنظمة التشخيصية الحديثة والسريعة في التشخيص البكتيري، إذ يعطي نتائج دقيقة تصل دقتها إلى 99%. ولغرض التأكد من العزلات البكتيرية استُخدم النظام أعلاه وحسب تعليمات الشركة المجهزة له وفقاً لـ<sup>(9)</sup>:

1- زُرعت العزلات البكتيرية على وسطي أكاك الدم والماسكونكي وحضرت بدرجة حرارة 37°C لمدة 24 ساعة.

2- حُضرَ من المزروع الجرثومي عالقاً جرثومياً، وذلك بنقل مستعمرة واحدة من كل طبق إلى أنابيب اختبار حاوية على 3 مل من محلول الملحي الفسلجي بتركيز 0.85% ثم حُففت عکورة النمو للحصول على عالق كثافته

#### المقدمة Introduction

تقع بكتيريا المكورات السبحية *Streptococcus mutans* ضمن مجموعة البكتيريا المكونة للأغشية الحيوية؛ إذ أنها تستوطن الفم خلال الأيام الأولى بعد الولادة وبمرور الوقت تتواجد أنواعاً أخرى مراقبة للسبحيات من البكتيريا الموجبة والسائلة لصياغة گرام<sup>(1)</sup>.

يُمثل الغشاء الحيوي Biofilm مجتمعاً بكتيرياً يرتبط خلاياه بسطح نصف مغمور، وغُلفت بصورة أساسية بقالب من مواد بوليمرية خارج خلوية Exopolymeric substances (EPS) منتجةً من تلك الخلايا التي تظهر طرازاً مظهرياً مغايراً للخلايا عندما تكون حرة من ناحية نسبة النمو والتعبير الجيني<sup>(2)</sup>. ويسبب وجود الغشاء الحيوي في جسم الإنسان عدداً من الإصابات المرضية منها التليف الحوصلي وإلتهاب شغاف القلب الداخلي والأذن الوسطى والبروستات وإلتهاب ما حول السن وتسوس الأسنان وغيرها<sup>(3)</sup>. ويعتقد أيضاً أن التداخل ما بين الأنواع البكتيرية المتواجدة في الفم أثناء تكوين الغشاء الحيوي يؤدي إلى التصالام في ميكانيكية التحاور الجرثومي خلال الإشارات التي تطلقها لتكوين الغشاء الحيوي، ومن هذا المنطلق يمكن تصور التداخل بين المجتمعات البكتيرية المكونة للأغشية الحيوية كالحرب والسلام War and peace<sup>(4)</sup>.

إن الاستعمال المتكرر والمترizado للمضادات الحيوية في علاج الحالات المرضية ولفتراتٍ طويلة أدى إلى ظهور تغيرات جانبية تضر بصحة الفرد من جهة أخرى<sup>(5)</sup>، لذا بدأ التفكير بإستعمال أو إيجاد بدائل أخرى متقللةً بتأثير إستراتيجية العلاج إلى ناحية تنظيم تواجد الجراثيم التعايشية Commensal microbiota التي تؤثر على إستقرار بيئته الفم وتنظيمها من خلال تضافرها مع الجراثيم المُمرضة، وبسبب مقاومة الغشاء الحيوي للمضادات الحيوية ومجاهز المضيف المناعي والخصائص الفسلجية للكائنات المكونة له إضافةً إلى امتلاكها مورثات مقاومة؛ لذلك كان لابد من دراسة عوامل الضراوة لهذه الجراثيم من الناحية الوراثية الأمر الذي يؤدي إلى الإقتراب من تقليل تأثير هذه الجراثيم على أسنان الإنسان<sup>(6)</sup>. كما أن دراسة الوراثة الجزيئية بعض خصائص عوامل Molecular genetics الضراوة لبكتيريا *S. mutans* يمكن أن يقود ليس فقط إلى معرفة أو فهم الدور لتلك العوامل في نشوء التسوس وإنما يمكن أن يؤدي إلى الإقتراب من التقليل المترizado لتاثير تلك العوامل على التسوس<sup>(7)</sup>. وأن التداخل ما بين الأنواع البكتيرية يلعب دوراً في ديناميكية المجتمعات البكتيرية؛ إذ إن بعضها يعزز تكوين الإسوداد وتتطور أمراض أخرى منها تسوس الأسنان وإلتهاب ما حول السن لذلك فمن الأفضل فهم التداخل بين الخلايا البكتيرية المرضية الفموية والتعايشية وتاثير ذلك التداخل على التعبير الجيني لبعض عوامل الضراوة والإمراضية، ويعتقد أن وجود أنواعاً من النبيت البكتيري يمكن أن تؤدي إلى الإختلاف في التأثير على تكوين

- ١- culture plate تحديد تكوين الغشاء الحيوي والتي تتلخص بالخطوات التالية:
- ٢- في حالة تكوين الغشاء الحيوي من قبل بكتيريا *S. mutans* تقوم بتنميته على وسط T.S.B. الحاوي على ١٪ كلوكوز وحضنها لمدة ١٨ ساعة بدرجة ٣٧°C بعدها تُخفف إلى ١:١٠٠ بوسط T.S.B. خالي من الكلوكوز.
- ٣- تُحضر الصفيحة المعمقة الحاوية على ٩٦ حفرة wells ويوضع داخل الحفر الزرع البكتيري الحاوي على بكتيريا *S. mutans*. فقط ويوضع ثالث مكررات، كذلك يوضع وسط سائل (T.S.B.) خالي من الكلوكوز يعتبر كسيطرة لعدد من الحفر.
- ٤- تُخزن الصفيحة لمدة ٢٤ ساعة بدرجة حرارة ٣٧°C ثم تزال كل محتويات الحفر بعنبالية بوساطة قلب الصفيحة وبعد ذلك تُغسل الحفر لأربع مرات بمحلول Phosphate buffer salin (PBS) وبـ  $pH = 7.2$  للخلاص من محلول الطافى بالبكتيريا غير الملتصقة.
- ٥- يتكون الغشاء الحيوي بوساطة إلتصاق البكتيريا بالصفيحة وتُثبت بوساطة وضعها في الفرن بدرجة حرارة ٣٧°C لمدة ٣٠ دقيقة.
- ٦- تُصيّن الحفر بصبغة الننسج البلوري Crystal violet ١٪ (و/ح) ثم تُغسل الحفر بالماء المقطر الخالي من الأيونات Deionize water ثم نتركها حتى تجف.
- ٧- يضاف ١٥٠ ميكرولتر acetone:ethanol (80:20) إلى الحفر ثم يتم وضع الصفيحة في جهاز Eliza reader لقراءة الإمتصاصية وكتابة النتائج وتحليلها حسب جدول (١):

(١٢).

معدل قيم الإمتصاصية للطفل الموجي 630nm Mean of OD value at 630nm	الإلتصاقية Adherence	الغشاء الحيوي المتكوّن Biofilm formatic
<0.120	Non	لا توجد
0.120 – 0.240	Moderate	متواسط
>0.240	High	عالي

- بعد تكوين الأغية الحيوية. وتضمن إختبار الحساسية الدوائية للعزلات البكتيرية بطريقة الأقراص بالإعتماد على طريقة Christensen (1985) التي اعتمدت طريقة Christensen وجماعته (1985) التي يطلق عليها طريقة صفيحة الزرع النسيجي Tissue
- ١- غُست المسحة القطنية في مرق تربتون الصويا المزروع وأزيل الفائض منها بضغطها على الجوانب الداخلية للأنبوبة.
  - ٢- نُشرت العزلات البكتيرية على وسط مولر- هنتون الصلب بطريقة التخطيط لأكثر من مرتين وباتجاهات مختلفة لغرض التأكد من نشر العزلات البكتيرية المراد اختبار حساسيتها بالتساوي، وثُركت الأطباق لمدة ١٥ دقيقة في درجة حرارة الغرفة لضممان إمتصاص الرطوبة.
  - ٣- وُضعت أقراص المضادات الحيوية بواقع خمسة أقراص في طبق قياسة ١٠٠ ملم و ١٢ قرصاً في طبق قياسة

- ٤- تتراوح بين (0.63 – 0.50) ملغم. مل ١.٥ × ١٠<sup>٨</sup> خلية. مل ١- بـ استخدام جهاز المطياف الضوئي بطول موجي ٢٣٠ نانومتر.
- ٥- وضع آل Card cassette الخاص بـ تشخيص الأنواع البكتيرية في كل أنبوبة من أنابيب الإختبار الحاوية على العالق الجرثومي المخفف ومن ثم وُضعت الأنابيب في جهاز الفايتك الذي يقوم بقراءة النتائج تقانياً وتحديد نوع البكتيريا الموجودة في العالق.

- ٦- حفظ وإدامة العزلات البكتيرية Preservation and maintenance of bacterial isolates Short term storage: أُبِيَّمت العزلات البكتيرية لأسابيع قليلة على وسط أكار الماكونكي. صُبَّ الوسط الزرعي بشكل مائل (Slant) ولُقِّحت الأطباق ثم أُفتَّت جيداً بـ شريط بارافilm (Parafilm) وُحُفِّظَت بـ درجة حرارة ٤°C.
- ٧- الحفظ طويل الأمد Long term storage: إسْتُخدِمَ وسط نقع الدماغ والقلب بالإضافة إلى الكاليسرين بتركيز ٢٠٪ ووزع الوسط في قناني صغيرة محكمة الغلق وبحجم ١٠ مل لكل قنانية ثم عُقمت بالموصدة ولُقِّحت بعدها بنسبة ٠.٠١ مل من مزارع بكتيريا *Sterptococcus spp.* ثم حُصِّنَت بـ درجة حرارة ٣٧°C لمدة ٢٤ ساعة وُحُفِّظَت بعدها بـ درجة -٢٠°C (١١)، إسْتُخدِمَت هذه الطريقة لحفظ المزارع البكتيرية لمدة طويلة تصل إلى ثلاثة أشهر.

- ٨- تكوين الغشاء الحيوي Biofilm formation: اعتمدت طريقة Christensen وجماعته (1985) التي يطلق عليها طريقة صفيحة الزرع النسيجي Tissue

جدول (١): إلتصاقية وتكوين الغشاء الحيوي البكتيري بـ وسط طرية TCP

- ٩- تأثير بعض الكربوهيدرات على تكوين الغشاء الحيوي خامساً: تأثير بعض الكربوهيدرات على تكوين الغشاء الحيوي تم إعادة الخطوات في الفقرة (رابعاً) بفرق أن تُنْتَمَ بكتيريا *S. mutans* بـ وسط T.S.B. على تركيز ١٪ من الكربوهيدرات (١٪ كلوكوز و ١٪ سكروز و ١٪ فركتوز و خليط من ٥٪ فركتوز و ٥٪ فركتوز) ثم إكمال الخطوات الموضحة في الفقرة ذاتها.

- ١٠- التحرى عن الحساسية الدوائية لـ العزلات *S. mutans*: تجاه عدد من المضادات الحيوية تُنْتَمَ زراعة (تنمية) بكتيريا *S. mutans* في وسط (T.S.B.) لقياس حساسيتها للمضادات الحيوية قبل تكوين الأغية الحيوية ثم تُنْتَمَ إليها على وسط (T.S.B.) الحاوي على ١٪ من الكلوكوز لفحص حساسيتها للمضادات الحيوية

- أعيد تذويب راسب الدنا في 100 ملليتر من محلول تذويب (TE) في درجة حرارة 65°C لمدة ساعة كاملة أو في درجة حرارة 4°C لمدة 24 ساعة.
- 2- الترحيل الكهربائي على هلام الأكاروز Agarose gel أجريت عملية الترحيل الكهربائي للعزلات المدرسوة لفصل مستخلص الدنا الكلي وفحصه على سطح هلام الأكاروز بالإعتماد على الطريقة التي ذكرها<sup>(10)</sup>, وكالآتي:
- حضر محلول T.B.E. buffer 1X (10X) بنسبة 1:10 باخذ 10 مل من محلول T.B.E. وتأمل الحجم إلى 100 مل بالماء المقطر المعقم.
  - حضر هلام الأكاروز بذابة 0.8% غ من مسحوق الأكاروز في 100 مل من محلول T.B.E. (IX) وعُقم بالموصدة وترك ليبرد في درجة حرارة 50°C ثم أضيف إليه 15 ملليتر من محلول صبغة بروميد الأثيريوم.
  - حضر قالب صب الهلام (Tray) بإباحتة حافظه المفتوحتين بشرط لاصق عريض مع تثبيت مشط تكوين الحفر Comb قرب إحدى نهايته وعلى بعد 1 سم من طرف القالب ثم صبّ الهلام بعناية لمنع تكوين فقاعات هوائية ورُوعي وضع القالب في وضع أفقى لضمان تجسس سُك الهلام وترك ليصلب مدة 30 دقيقة.
  - رفع المشط والشرط اللاصق بعناية ونقل القالب إلى حوض جهاز الترحيل الكهربائي (Tank) الحاوي على داري T.B.E. buffer 1X (10X) حيث غير سطح الهلام الدارى كلياً وإرتقى عنه ببعد 1 ملم.
  - حضرت عينة الدنا لغرض إجراء عملية التحميل (Loading) وذلك بمزج 25 ملليتر من محلول العينة مع 5 ملليتر من دارى التحميل ثم نقلت العينة إلى إحدى حفري الهلام.
  - رُحلت عينات الدنا بامرار فرق جهد كهربائي قدره 80 فولت لمدة (1 - 2) ساعة.
  - فُحصت مواقع حزم الدنا المستخلص عند طول موجي 256 نانومتر باستعمال جهاز الأشعة فوق البنفسجية.
  - صُور الهلام لغرض توثيق النتائج.
- 3- تحضير مزيج تفاعل سلسلة إنتيم البلمرة PCR حضر مزيج آلة PCR حسب تعليمات شركة Promega المنشورة له، وكالآتي:
- دُوب المزيج الرئيس الأخضر في درجة حرارة الغرفة ووضع في المنبدة لكي تتجمع المكونات في قعر الأنابيب.
  - أعد مزيج التفاعل بالحجم المطلوب الذي يتلائم مع نوع التفاعل وكما موضح في جدول (2).
  - نُبذت مكونات المزيج في المنبدة الثيرة بسرعة 15000 دورة. دقيقة<sup>-1</sup> لمدة 5 ثوانٍ.

**جدول (2): بادئ الدنا (DNA primers) وتسلسل قواعدهما النتروجينية وعددها المجهzan من شركة PCR – كوريا الجنوبية المستخدمين في فحص Bioneer**

150 مل، والمسافة بين كل قرص وأخر 24 مل (من مركز القرص الأول إلى مركز القرص الآخر).  
4- حُضن الأطباق بدرجة حرارة 35°C لمدة (16 - 18) ساعة لجميع أنواع المضادات الحيوية، ثم قيست قطر النثبيط وقورنت مع القيم القياسية المذكورة في<sup>(14)</sup>.

سابعاً: الفحوصات الجزيئية Molecular tests  
1- إستخلاص الحامض النووي: الغدة المستعملة لاستخلاص آلة DNA الكلي المجهزة من شركة Bioneer (كوريا الجنوبية) والمكونة من:

أ- ترسيب الخلايا Pellet cells

- نُبذ 1 مل من المزروع الجرثومي لمدة 24 ساعة في درجة حرارة 35°C وعلى سرعة 1500 دوره. دقيقة<sup>-1</sup>.
- أزيل الرائق وأعيد تذويب الراسب بإضافة 480 ملليتر من محلول EDTA (50 مللي مولاري) ثم نُقل إلى أنبوبة أبندروف سعة 1.5 مل.
- أضيف 120 ملليتر من الاليسورايم.
- نُبذ المعلق بسرعة 15000 دوره. دقيقة<sup>-1</sup> لمدة دقيقتين وبعد ذلك أزيل الرائق.

ب- تحليل الخلايا Lyse cell

- أضيف 600 ملليتر من محلول Nuclei Lyses ووضع في الحمام المائي بدرجة حرارة 80°C لمدة دقيقتين ثم بُرد في درجة حرارة الغرفة.
- أضيف 3 ملليتر من محلول آلة RNAase ومُمزج جيداً وُحضر في درجة 37°C لمدة 60 دقيقة ثم بُرد في درجة حرارة الغرفة.

ج- ترسيب البروتين Protein precipitation

- أضيف 200 ملليتر من محلول محلل للبروتين ومُمزج باستعمال المازج.
- حُضن المعلق في حمام ثلجي لمدة 5 دقائق ونُبذ بسرعة 15000 دوره. دقيقة<sup>-1</sup> لمدة 3 دقائق.

د- ترسيب الدنا DNA precipitation

- نُقل الرائق إلى أنبوبة أبندروف جديدة ونظيفة تحتوي على 600 ملليتر من محلول الأيزوبروبانول في درجة حرارة الغرفة ومُمزج جيداً.
- نُبذ المعلق بسرعة 15000 دوره. دقيقة<sup>-1</sup> لمدة دقيقتين ثم أزيل الرائق.
- أضيف 600 ملليتر من الإيثانول بتركيز 70% ومُمزج جيداً.
- نُبذ المعلق بسرعة 1500 دوره. دقيقة<sup>-1</sup> لمدة دقيقتين.
- أزيل الرائق وترك الأنبوبة بشكل مقوّب على ورق الترشيح لمدة 15 دقيقة.

ه- إعادة تذويب الدنا DNA rehydration

المصدر Reference	عدد القواعد (Bp)	تسلسل القواعد النتروجينية DNA sequence	اسم البادئ Primer
صُنعت من قبل الباحث باستخدام برنامج DNA mfold program	151	5-AGCGTTGTCCGGATTTATTG-3 5-CATTCACCGCTACACATGG-3	F R <i>16s rRNA</i>

الكونات المذكورة في جدول (3) تم إضافتها إلى  
أنابيب PCR حاذفة تحتوى على بقية مكونات التفاعل  
بعدها مُزجت المستويات في المازج ووضعت  
في جهاز الـPCR.

**جدول (3): مكونات وحجوم مزيج تفاعل سلسلة إنزيم البلمرة (PCR master mix).**

المكونات	الحجم (مايكرولتر)
DNA template	5
Primers	Forward primer
	Reverse primer
PCR water	12
Total	20

والبادئ الذي إقترحه لبكتيريا *S. mutans*, وكما موضح في جدول (4).

4- ضبط ظروف التفاعل لسلسلة إنزيم البلمرة (PCR):  
**ضُبْط جهاز الدورات الحرارية لـ PCR** على Perkin Elmer Model (15). وتم تحويل النموذج للتاليم مع مزيج مكونات عَدَّة آلـ Promega.

**جدول (4): مراحل تفاعل سلسلة إنزيم البلمرة (PCR) في جهاز الدورات الحرارية.**

المرحلة	الوقت (دقيقة)	درجة الحرارة (°م)	عدد الدورات (دورة)
المسخ الابتدائي	3	94	1
Denaturation	1	94	30
الإرتباط	1	65	
الإسطالة	1	72	
الإسطالة النهاية	5	72	1
Final extension			

10000 (دورة. دقيقة<sup>1</sup>) لمدة دقيقتين وبعدها تم التخلص من الرابط

4- أضيف 750 ملليلتر من محلول الغسل Wash solution لأنابيب التقطية وترك لمدة دقيقتين ومن ثم وضع الأنابيب في المنبدة بسرعة 10000 (دوره. دقيقة<sup>1</sup>) لمدة دقيقة واحدة وبعدها تم التخلص من الراسب. بعد ذلك كُررت الخطوة ذاتها مرةً أخرى.

5- أخيراً وضعت أنابيب التقطة EZ-10 column في أنبوبة معقمة حجم 1.5 مل، ومن ثم أضيفت 30 ميكرولتر من محلول Elution buffer ثم حذنت الأنابيب بدرجة حرارة الغرفة لمدة دقيقتين وبعدها نُبذلت الأنابيب بسرعة 10000 (دورة دقيقة<sup>1</sup>) لمدة دقيقتين لاستخراج 151bp PCR product (النفث).

أرسل ناتج تفاعل إنزيم البلمرة المتسلسل النقي إلى شركة Bioneer في كوريا الجنوبية لإجراء تسلسل الحمض النووي باستخدام جهاز (A.B. DNA sequencing). كما حلت نتائج تسلسل الحامض النووي لمورث system (16s-rRNA NCBI- Allgment) لتتحديد تتبع المورث (Blast) Gene bank وتم كذلك تسلسل المورث بإعتماد على الشجرة الوراثية Neighbor Phylogenetic tree بإستعمال طريقة تحليل-

ثامناً: طريقة تسلسل الحمض النووي DNA sequencing method  
 أجريت طريقة تسلسل الحمض النووي لبكتيريا المكورات السببية *S. mutans* المكونة للغشاء الحيوي، وذلك بتحديد تسلسل نتيجة تفاعل إنزيم البلمرة المتسلسل لمورث 16S rRNA؛ إذ تم في البداية تنقية نتيجة تفاعل سلسلة إنزيم البلمرة البالغ طوله (151bp PCR product) من هلام الأكاروز باستخدام عدة تنقية (EZ-10 Spin Column DNA Gel Extraction Kit, Biobasic, Canada) تُدعى التنقية بحسب طريقة عمل الشركة المجهزة لعدة التنقية كما في الخطوات التالية.

ي 1- أزيلت نتيجة تفاعل إنزيم البلمرة المتسلسل البالغ طوله (151bp PCR product) من هلام الأكاروز بوساطة شفرة جراحية معمقة ومن ثم نُقل الناتج إلى أنبوبة معقمة بحجم 1.5 مل.

2- أضيف 400 ميكرولتر من محلول II لإذابة هلام الأكاروز، ومن ثم حُضنَت الأنابيب في درجة حرارة  $60^{\circ}\text{C}$  لمدة 10 دقائق.

3- نقل المزيج إلى أنبوبة التنقية EZ-10 column وترك لمدة دقيقتين ومن ثم وضع الأنابيب في المنبة بسرعة

*S. salivarius* بنسبة 6.62% (10 عزلات) و *S. pneumoniae* بنسبة 5.96% (9 عزلات)، أما أقل نسبة عزل فكانت من نصيب بكتيريا *S. pyogenes* و *S. sorbinus* اللتان بلغت نسبة عزل كلاً منها 4.63% (7 عزلات) و 3.97% (6 عزلات)، على التوالي. ويوضح الجدول أيضاً أنَّ بكتيريا *Staph. epidermidis* التابعة لجنس المكورات العنقودية أعطت أعلى نسبة مئوية بلغت *Staphylococcus* spp. 73% (74.49 عزلة) عند عزلها من مناطق تسوس الأسنان مقارنةً ببكتيريا *Staph. aureus* البالغة نسبتها 25.51% (25 عزلة).

أما بكتيريا *L. acidophilus* التابعة لجنس عصيات الحليب *Lactobacillus* spp. فبلغت نسبتها المئوية 71.66% (43 عزلة) متفوقةً على بكتيريا *L. casei* التابعة لجنس نفسه والبالغة نسبتها 28.33% (17 عزلة). كما أظهرت الأنواع التابعة لخميرة البيضات *Candida* spp. تفاوتاً في نسبة إصابتها، إذ تفوق النوع *C. albicans* بأحرازه أعلى نسبة مئوية بلغت 60.78% (31 عزلة) مقارنةً بكلتا النوعين *C. tropicalis* و *C. glabrata* بنسبة 23.52% (12 عزلة) و بنسبة 15.68% (8 عزلات) على التوالي.

إنَّ سيادة بكتيريا المكورات السببية على بقية الجراثيم المعزولة في الدراسة الحالية تتفق مع نتائج (16) كونها المسبب الرئيسي لآفات التسوس (Caries lesions). كما أنَّ سيادة النوع *S. mutans* على باقي الأنواع الأخرى يتفق مع ما وجده (17) من سيادة بكتيريا *S. mutans* على باقي الجراثيم المكورات العنقودية وخاصةً النوع *Staph. epidermidis* في محيط الفم يتفق مع ما وجده (18) من أن سبب إنتشار البكتيريا هذه في محيط الفم قد يعود إلى كونها من الممرضات المهمة ذات القدرة على إحداث الأمراض الإنترهارية (Opportunistic infections) بسبب تواجدها الطبيعي على أجسام الحاملي (Carrier) على الجلد وفي أعلى الأنف والفتاة الهضمية والتناسلية (19). أو بسبب إمتلاكها للعديد من المستضدات السطحية والإنزيمات التي تساعدها في عملية إخراق أنسجة الجسم (20).

multiple Joining Method .allignment sequencer (Clusta (W))  
موقع وباستخدام

### نتائج ومناقشة Results and Discussion

أولاً: عزل وتشخيص الجراثيم المتنوطة في الفم جُمعت 409 مُسحة من الأشخاص المصابين بألم حاد في المثلثة وتتسوس الأسنان وحصل منها على 479 عزلة سُخلت على أنها جراثيم موجبة وسائلة لمصابة كرام بجهاز الفايتك، إذ أظهرت النتائج الواردة في جدول (5) سيادة بكتيريا المكورات السببية *Streptococcus* spp. بتسجيلها أعلى نسبة مئوية بلغت 31.52% (151 عزلة) من مجموع نسب الجراثيم المعزولة من مناطق تسوس الأسنان تلتها بكتيريا المكورات العنقودية *Staphylococcus* spp. بنسبة 20.45% (98 عزلة) ثم عصيات الحليب *Lactobacillus* spp. بنسبة 12.52% (60 عزلة). كما سجلت خميرة *Candida* spp. نسبة عزل بلغت 10.64% (51 عزلة) وبكتيريا الزانفة الزنجارية *Pseudomonas aeruginosa* بنسبة 5.21% (25 عزلة) في حين احتلت البكتيريا *Enterococcus* spp. و *Enterobacter* spp.) و *Corynbacterium* spp. و *Micrococcus faecalis* و *Escherichia* و *Shigella* spp. و *Neisseria* spp. و *Klebsiella oxytoca* و *Proteus* spp. و *coli* (النسبة المئوية الأقل في تواجدها في مناطق تسوس الأسنان بنسبة 2.92% (4.17 عزلة) و 3.34% (20 عزلة) و 2.08% (12 عزلة) و 2.50% (10 عزلة) و 1.67% (8 عزلات) و 1.25% (6 عزلات) و 0.83% (4 عزلات) و 0.83% (4 عزلات)، على التوالي.

كما يلاحظ من الجدول ذاته أنَّ البكتيريا العائدة لجنس المكورات السببية *Streptococcus* spp. ظهر تفوق بكتيريا *S. mutans* على باقي أنواع المكورات السببية المعزولة من مناطق تسوس الأسنان بتسجيلها أعلى نسبة مئوية بلغت 37.09% (56 عزلة)، بينما جاءت بكتيريا *S. sanguis* في المرتبة الثانية بنسبة 12.58% (19 عزلة) تلتها كلاً من بكتيريا *S. mitis* و *S. intermedius* و *S. oralis* بنسبة 10.59% (16 عزلة) و 9.27% (14 عزلة) و 7.28% (14 عزلة)، على التوالي. كما ظهرت بكتيريا *S.*

جدول (5): الجراثيم المعزولة من الفم ونسبها المئوية.

%	عدد العزلات	أنواعها	%	عدد العزلات	الجراثيم المعزولة من الفم	ت
37.09	56	<i>S. mutans</i>	31.52	151	<i>Streptococcus</i> spp.	1
12.58	19	<i>S. sanguis</i>				
10.60	16	<i>S. mitis</i>				
9.27	14	<i>S. intermedius</i>				
9.27	14	<i>S. oralis</i>				
6.62	10	<i>S. salivarius</i>				
5.96	9	<i>S. pneumoniae</i>				
4.63	7	<i>S. pyogenes</i>				
3.97	6	<i>S. sobrinus</i>				
74.49	73	<i>Staph. epidermidis</i>				
25.51	25	<i>Staph. aureus</i>	20.45	98	<i>Staphylococcus</i> spp.	2
71.66	43	<i>L. acidophilus</i>	12.52	60	<i>Lactobacillus</i> spp.	3
28.33	17	<i>L. casei</i>				
60.78	31	<i>C. albicans</i>	10.64	51	<i>Candida</i> spp.	5
23.52	12	<i>C. tropicalis</i>				
15.68	8	<i>C. glabrata</i>				
			5.21	25	<i>Pseudomonas aeruginosa</i>	6
			4.17	20	<i>Enterobacter</i> spp.	7
			3.34	16	<i>Enterococcus</i> spp.	8
			2.92	14	<i>Micrococcus faecalis</i>	9
			2.50	12	<i>Corynbacterium</i> spp.	10
			2.08	10	<i>Neisseria</i> spp.	11
			1.67	8	<i>Shigella</i> spp.	12
			1.25	6	<i>Escherichia coli</i>	13
			0.83	4	<i>Proteus</i> spp.	14
			0.83	4	<i>Klebsiella oxytoca</i>	15
			100	479	العدد الكلي للعزلات	

وفيما يخص عصيات الحليب المحببة للحموضة *L. acidophilus* فإن نتائج عزلها جاءت متوافقة مع

للجراثيم، إضافة إلى أن الإختلاف في مستوى الوعي الصحي والعنائية المستمرة بتنظيف الأسنان وثقافة المجتمع لها تأثيراً كبيراً على ذلك.

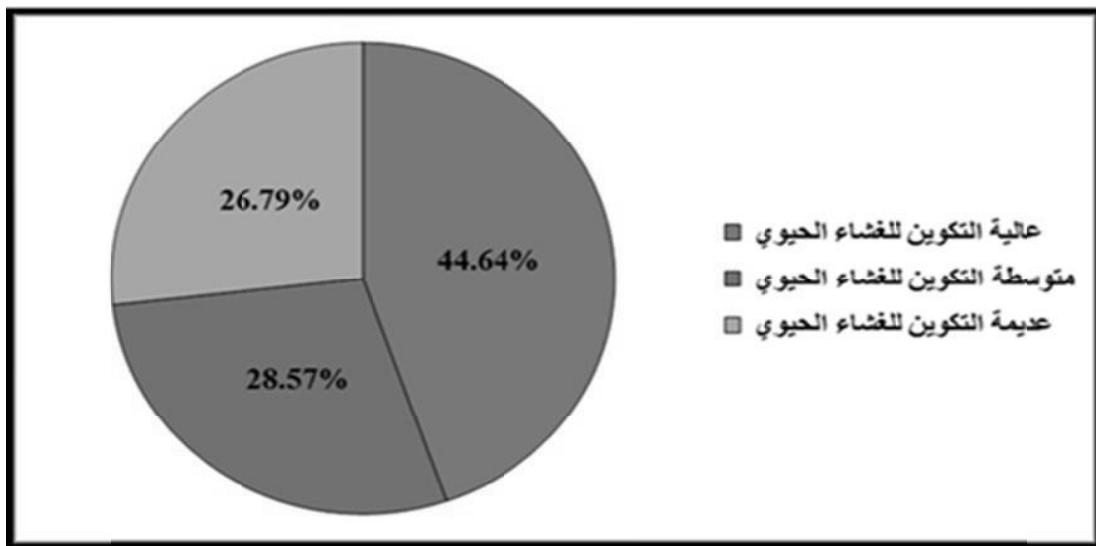
ثانياً: تكوين بكتيريا *S. mutans* للأغشية الحيوية أختبر تكوين الأغشية الحيوية في صفيحة الزرع (Micro titer plate) على وسط تربتون الصويا السائل مضافة إليه 1% كلوكوز، وبالاعتماد على درجة الإمتصاصية Optical density (OD) بطول موجي 630 نانومتر كانت النتائج الظاهرة في شكل (1) كالتالي:

تكوين الأغشية الحيوية بدرجة عالية عندما تكون درجة الإمتصاصية أكبر من 0.240 نانومتر ومتوسطة عندما تكون ما بين 0.120 - 0.240 نانومتر، وأن 25 عزلة (44.64%) من أصل 56 عزلة كانت عالية التكوين للغشاء الحيوي و 16 عزلة (28.57%) متوسطة التكوين في حين

نتائج (21) في نسبة العزل. وأن سيادة خميرة المبيضات في الفم على باقي أنواع الخمائر الأخرى تتفق مع (18) إذ أن الإصابات الفطرية في المرضي الضعاف مناعياً تتضمن خميرة المبيضات دائماً؛ ذلك لإمكانيتها من إظهار قابليتها الإمبراطورية كأمراضات حقيقية في بعض الظروف كإنتاجها لإنزيمات Uronidase و Proteinase و Collaginase و Neuroaminidase التي تساعدها في اختراق إنسجة خلايا المضيف وإحداث الإمبراطورية (22). كما أن إختلاف نسب العزل لأنواع التابعة للعائلة المعوية (السائلة لصيغة گرام) يعود إلى ندرة وجودها في محيط الفم، وهذا ما أكدته دراسات كل من (17، 18 و 23) من أن معظم البكتيريا السائلة لصيغة گرام تأتي من إلتهابات الجهاز التنفسى أو من القناة المعدية - المعوية و ظهر في الفم. وأوضح (24) أن الإختلاف في نسب العزل يتغير تبعاً للتغير الإصابة، ووجد (25) أن نسب عزل البكتيريا تزداد بازدياد أعداد الأسنان المسؤولة. كما يعتقد أن لنوعية الوسط الزراعي المستعمل وطريقة العزل وعوامل أخرى غير معروفة تأثيراً كبيراً في اختلاف نسب العزل

بسبب إمتلاك هذه البكتيريا لخاصيّتي توليد الحموضة Acidogenesis وتحمّض البول Acidouricity<sup>(28)</sup>. كا أنّ سبب عدم تكوين البعض من عزلات *S. mutans* للغشاء الحيوي قد يعزى إلى أنّ المسحات التي أخذت من الفم كانت من أشخاص متعاطفين للمضادات الحيويّة أو مستخدمين نوعاً من المضمضات التي تحدّ من عوامل ضراوة بكتيريا *S. mutans*.

بلغ عدد العزلات التي لم تُحدّث أية إلتصاقية وتكون للأغشية الحيوية هي 15 عزلة (26.79%) عند درجة إلتصاقية أقل من 0.120 نانومتر. وتنقّل هذه النتائج مع نتائج<sup>(26) و (27)</sup>. وتبين هذه النتائج أن العزلات المكوّنة للأغشية الحيوية ذات قابلية تحمل عالية لمستويات الحموضة في مناطق تسوس الأسنان إضافة لقدرتها على خفض pH الفم بسبب إستهلاكها للسكريات (الكلوكرز والفركتوز واللاكتوز) وإنتجها لحامض اللاكتيك كمنتج نهائي والمسبّب لمحوضة الفم، وهذا متوقّع



شكل (1): النسبة المئوية لعزلات *S. mutans* المكوّنة للغشاء الحيوي.

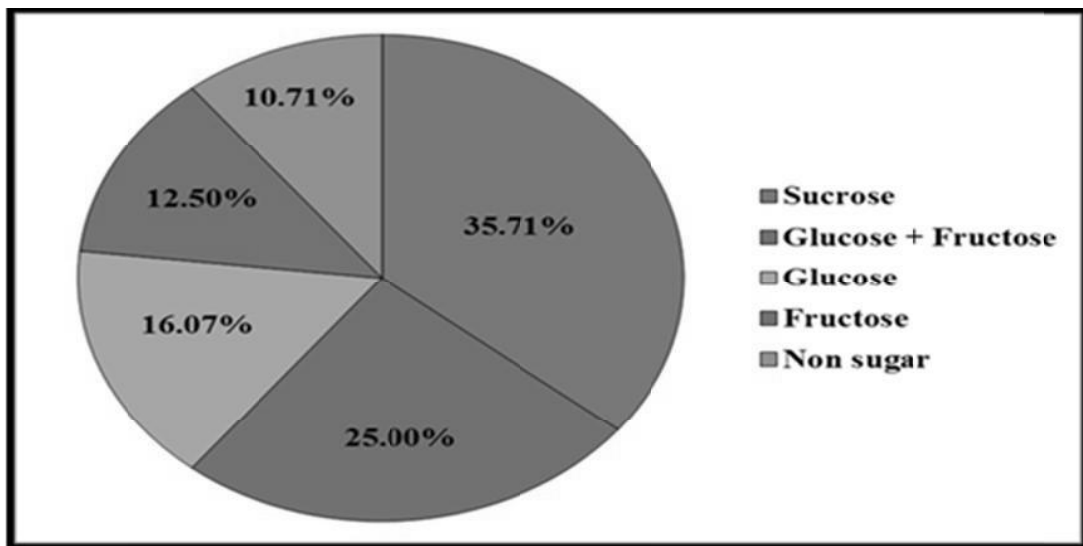
بالبروتينات (GBPs), Glucan-binding proteins كل هذه العوامل ثبّت الدور المرضي لبكتيريا *S. mutans* كما أن الكلوكان الذائب في الماء الذي تنتجه بكتيريا *S. mutans* يمكن أن يتواجد عندما يقل تركيز الكالسيوم والفوسفات في اللعاب والذي هو سبباً آخر لبداية تخرّ الأسنان وتكون الأغشية الحيوية<sup>(32)</sup>. إن إضافة السكريات في أواسط النمو للبكتيريا السبّاحية تؤثر إيجاباً في عملية تكوين الغشاء الحيوي على مختلف السطوح الحية<sup>(33)</sup> ذلك لأن تجوييف الفم يحتوي على أنواع عديدة من البكتيريا المختلفة التي بعضها ينمو ويتكاثر في بيئات مختلفة من الأغذية والمشروبات الحاوية على السكريات أو الشوكيات المطبوخة المعروفة باسم الكربوهيدرات المخمرة (Fermented carbohydrates)، وبين لا تتم إزالة هذه الكربوهيدرات بواسطة تنظيف الأسنان تقوم البكتيريا بتحويلها إلى أحماض في غضون 20 دقيقة متولّة في ذلك البكتيريا والأحماض وجزيئات الطعام واللعاب إلى لوحة سنّية (Dental plaque) عبارة عن طبقة لزجة تغطي الأسنان، وعند وضع اللسان على الأسنان يمكن إشتعار هذه اللوحة السنّية بعد ساعات قليلة فقط من تنظيف الأسنان وتكون هذه

ثالثاً: تأثير الكربوهيدرات على عزلات *S. mutans* المكوّنة للأغشية الحيوية يبيّن الشكل (2) أن نسبة 35.71% (20 عزلة) من عزلات *S. mutans* كونت الغشاء الحيوي بوجود السكروز Sucrose في الوسط، في حين بلغت نسبة العزلات المكوّنة للغشاء الحيوي بوجود الكلوكرز Glucose والفركتوز Fructose معاً في الوسط 25.00% (14 عزلة). كما نلاحظ أن 16.07% (9 عزلات) من العزلات كونت الغشاء الحيوي بوجود الكلوكرز و 12.50% (7 عزلات) بوجود الفركتوز، بينما بلغت نسبة العزلات المكوّنة للغشاء الحيوي بغياب السكريات Non sugar في الوسط 10.71% (6 عزلات). وجاءت نتائجنا متطابقة مع نتائج<sup>(29)</sup> ومتّوقة مع نتائج<sup>(30)</sup>.

إن قابلية البكتيريا على تكوين الأغشية الحيوية وخاصة *S. mutans* تزداد بوجود السكريات وخاصة السكروز والكلوكرز<sup>(31)</sup> التي تساعدها على الإلتصاق على سطوح الأسنان من خلال آلية إفراز الإنزيمات خارج خلوية (GTFs) وGlucosyltransferases والكلوكان المرتّب (FTFs)

داخل طبقة اللب السنوي (Dental pulp) مما يؤدي إلى إنتفاخها وتهيجها<sup>(35)</sup>.

اللويحة خشنة بعض الشيء في منطقة الأسنان  
الطواحن (Molars) وخاصةً على طول خط اللثة<sup>(34)</sup>.  
كما أنَّ الأحماس التي تكون في اللويحة السنية تهاجم  
المعدن الموجودة في الطبقة الصلبة من السن والمسماة بالمينا  
(Enamel) وهي الطبقة الخارجية التي تغطي السن ويؤدي  
تكللها إلى حدوث ثقوب صغيرة فيها تسمى بتسوس الأسنان  
مكسبةُ البكتيريا والأحماس قدرة على الوصول إلى الطبقة  
الثانوية (الوسطي) من السن المسماة بالعاج (Dentine) التي  
تكون أكثر ليونة وأقل قدرة على مقاومة الأحماس من الطبقة  
الأولى، وحين تصل عملية تسوس السن إلى هذه النقطة تزداد  
سرعة تعفن السن تدريجياً وتتقدم البكتيريا والإحماس في  
طريقها إلى داخل الطبقات التي ي تكون منها السن وصولاً إلى



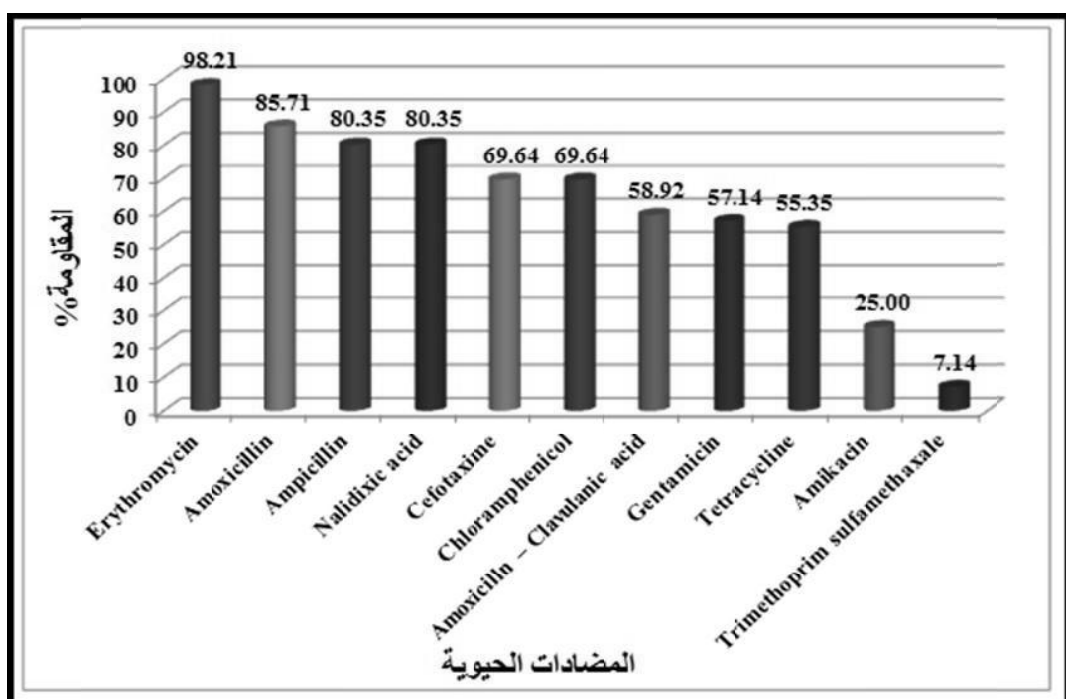
وحامض النالديسيك (Nalidixic acid) بنسبة 80.35% قبل التكوين لكلٍّ منها و 83.92% بعد التكوين لكلٍّ منها، على التوالي.

وأظهرت العزلات مقاومةً إتجاه مضادات السيفوتاكسيم (Cefotaxime) والكلورامفينيكول (Chloramphenicol) والأموكسيسيلين - حامض الكلافيولانك والجنتاميسين (Gentamicin) والتراستايكلين (Tetracycline) بنسبة 69.64% و 69.64% و 58.92% و 57.14% و 55.35% قبل تكوين الغشاء الحيوي، على التوالي وبنسبة 75.00% و 89.28% و 76.78% و 78.57% و 66.07% بعد تكوين الغشاء الحيوي، بالترتيب. في حين أظهرت العزلات ذاتها مقاومة ضعيفة وحساسية عالية تجاه مضادى الأميكاسين (Amikacin) والترايميثوبيرامين سلفاميثاكسيل (Trimethoprim sulfamethaxale) بنسبة 25.00% و 7.14% قبل تكوين الغشاء الحيوي و (48.21% و 19.64%) بعد التكوين، على التوالي.

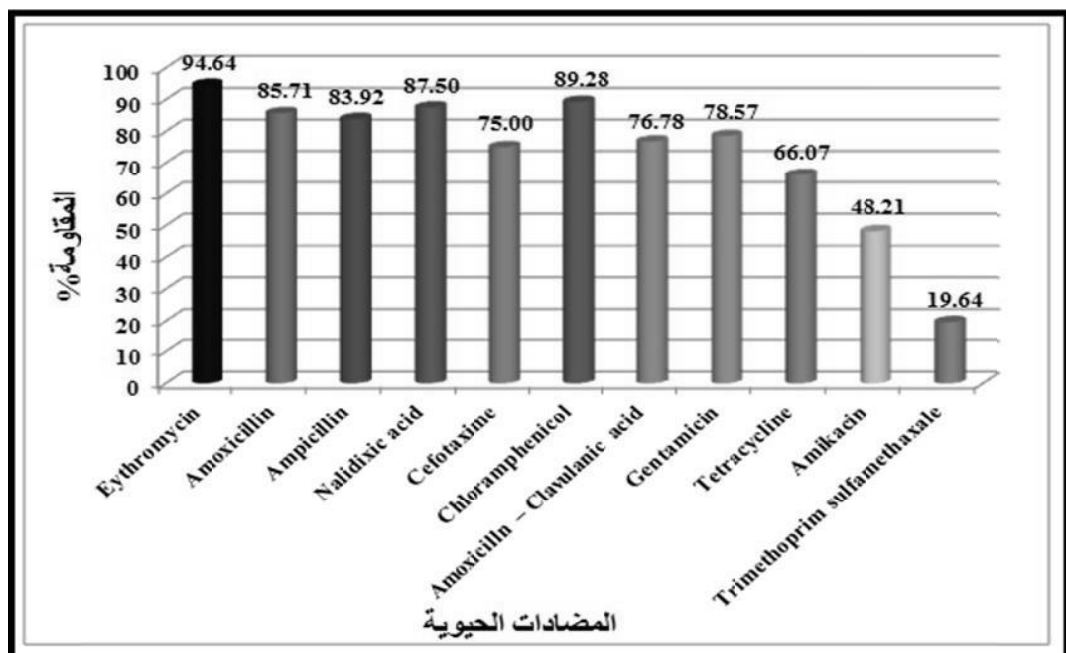
شكل (2): النسب المئوية لعزلات *S. mutans* المكونة للغشاء الحيوي بتأثير الكريوبهيرات.

رابعاً: مقاومة عزلات *S. mutans* للمضادات الحيوية قبل وبعد تكوين الأغشية الحيوية أجري اختبار فحص الحساسية الدوائية لجميع عزلات *S. mutans* الواردة في الدراسة والمُسبة لتسوس الأسنان (كونها المسبب الأول والأكثر ترددًا وشيوعًا) إتجاه مجموعة من المضادات الحيوية ومقاومتها لها من خلال قياس قطر منطقة تثبيط النمو حول أقراص المضادات المستخدمة ومقارنتها بما ورد في<sup>(14)</sup>.

**بُيُّن الشكلين (3) و (4) أَنَّ جَمِيع عَزَّلَات *S. mutans* الْمُسَبِّبَة لِتَسُوس الأَسْنَان قَوَّامَت مَضَاد الإِرْثِرُومَايِّسِين (Erythromycin) قَبْل وَبَعْد تَكُونِ الغَشَاءِ الْحَيُوي بِنَسْبَة 98.21% وَ 94.64% عَلَى التَّوَالِي وَالْأَمُوكِسِيلِين (Amoxicillin) بِنَسْبَة 85.71% قَبْل وَبَعْد التَّكُونِ عَلَى التَّوَالِي، كَمَا قَوَّامَت مَضَادَ الْأَمِبِيِّسِيلِين (Ampicillin)**



شكل (3): مقاومة عزالت *S. mutans* للمضادات الحيوية قبل تكوين الغشاء الحيوي.



شكل (4): مقاومة عزالت *S. mutans* للمضادات الحيوية بعد تكوين الغشاء الحيوي.

للكائنات المكونة له والتي تتحكم بنسب دخول جزيئات المضاد الحيوي بوساطة جزيئات الكربوهيدرات خارج خلوية المكونة لذلك الغشاء والتي تعمل على عرقلة إنتقال المضادات الحيوية إلى داخل الغشاء أو من خلال إرتباطها

كما نلاحظ من الشكلين أيضاً أن مقاومة العزلات للمضادات الحيوية إزدادت بعد تكوينها للغشاء الحيوي مما يدل على زيادة ضراوتها بعد تكوينها للغشاء الحيوي، وذلك يرجع إلى تركيبة الغشاء الحيوي والخصائص الفسلجية

بروتينات HefA لكل من المضادات الحيوية (البنسلينات والسيفالوسبورينات) تعمل على تغيير الهدف لمضادات البيتا-الاكتام وبالتالي تنتهي المقاومة البكتيرية لتلك المضادات، وإن معظم المقاومة التي تبديها سلالات *S. mutans* تكمن ذاتاً منشأً بلازميدي؛ لما للبلازميدات من دور في إنتاج إنزيمات البيتا-الاكتام ومسؤوليتها عن تشفير بعض البروتينات الرابطة للبنسلين (PBPs) (Fuda *et al.*, 2006).

إن مقاومة عزلتنا لمضاد حامض النالديسيك تحدث بعد التعرض له من خلال طفرات كرومومosome تؤدي إلى تغيير في موقع الهدف المتمثل بإنزيم DNA gyrase الذي يعمل على إتفاق شريط ADN (Poirel *et al.*, 2006). كما أن سبب مقاومة مضاد الكلورامفينيكول ناتج عن تحطيم الدواء من قبل عزلات *S. mutans* بوساطة إنزيم Booth *et al.* (Chloramphenicol acetyl transferase 2001). والآية مقاومة مضاد Amoxicillin - Clavulanic acid الذي هو من المضادات ذات التأثير العلاجي والمتميزة بمقاومته لإنزيمات البيتا-الاكتام لا تختلف عن الآيات مقاومة المضادات الأخرى من خلال تغيير موقع الهدف لمضادات البيتا-الاكتام أو من خلال خفض نفاذية المضاد الحيوي عبر غشاء الخلية البكتيرية (42).

أما سبب مقاومة التي أبدتها العزلات البكتيرية إتجاه مضادي الجنتاميدين والتراسيابيلين فيعزى إلى إستعماله موضعياً أو إلى حدوث طفرة أثرت في نسوجية الغشاء الخارجي لهذا المضاد (43).

وفيما يخص مضاداً آلي Amikacin و Trimethoprim sulfamethaxale والحساسية العالمية التي أبدتها عزلتنا عززناها من اعتبار هذين المضادين من المضادات الحيوية ذات التأثيرات العلاجية المتوسطة؛ إذ يمكن الاستفادة من هذه التأثيرات في علاج الأخماق الناتجة عن بكتيريا *S. mutans* للعديد من المضادات الحيوية المختلفة.

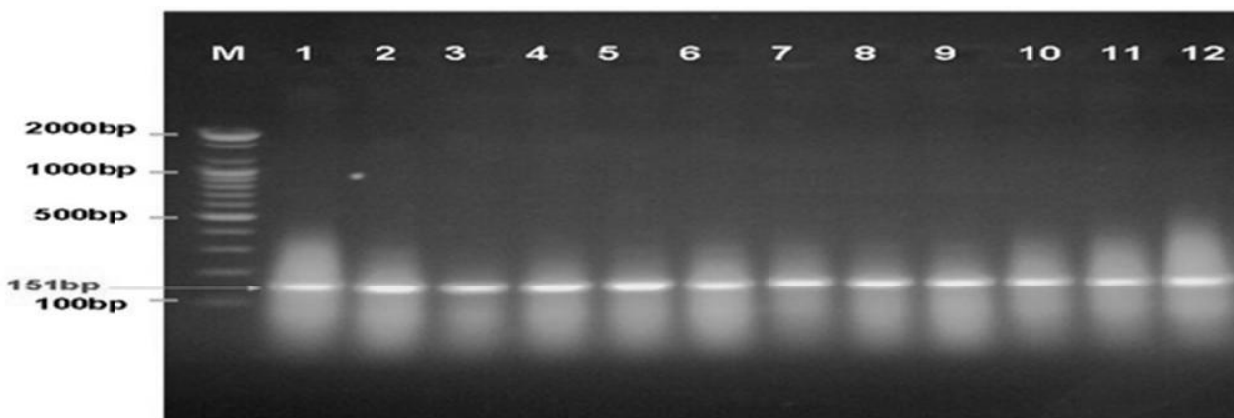
خامساً: التوصيف الجزيئي التوكيدى لعزلات *S. mutans*  
1- تفاعل سلسلة إنزيم البلمرة Polymerase chain reaction (PCR)

أظهر الشكل (5) امتلاك جميع عزلات *S. mutans* (44) عزلة منتخبة من 56 عزلة، بإعتبارها منتجةً لغشاء الحيوى وأكثر مقاومة للمضادات الحيوية المرحلّة كهربائياً على هلام الأكاروز لمورثة 16S ribosomal RNA التي تمثل المورثة التشخيصية لبكتيريا *S. mutans* بطول 151 زوج قاعدي Base pairs (bp) مما يثبت عاندية جميع العزلات (12) عزلةً لبكتيريا (44).

بصورة آيونية مع جزيئات المضادات الأخرى (11). ومن الآليات الأخرى التي تكتسبها المستعمرات البكتيرية المجتمعية والمكونة لغشاء الحيوي هي الفالبليبة البطيئة على أحد المضادات الحيوية من قبل البكتيريا الواقعة في الطبقة السفلية العميقة من الغشاء الحيوي بسبب إنعدام الأوكسجين وقلة وصول المغذيات لها منحصرأ بذلك على الطبقة العليا من الغشاء الحيوي التي تتأثر بالمضاد الحيوي فقط (3). كما أن الكثافة العالية التي تنتج من الزيادة في صفة التلامس للخلايا البكتيرية المكونة لغشاء الحيوي مع بعضها البعض تؤدي إلى إكسابها حالة من التغير الوراثي والتي تعتبر من الأسباب المهمة لمقاومة المضادات الحيوية عبر البلازميدات الحاملة لجينات المقاومة فيما بينها (36). إضافة إلى ذلك فإن بقاء الغشاء الحيوي لمدة طويلة وإتخاذ بعض طبقاته العليا (يطلق عليها بالخلايا الدائمة) حالة من السكون عند تعرضها المستمر للمضادات الحيوية حتى وأن كانت بتراكيز عالية ذات تأثير قاتل فإن تلك البكتيريا تمتلك خصائص مظهرية مغايرة لبقية الجراثيم الأخرى المكونة لطبقة العليا من الغشاء الحيوي مكتسبة بذلك مقاومة عالية للمضادات الحيوية أخرى أعلى مقاومةً وضراءً (37).

إن من الشائع مقاومة بكتيريا *S. mutans* لمركبات الماكرولييدات (Macrolides) التي من ضمنها الإرثرومایسين؛ إذ تنشأ المقاومة من خلال إنتاج إنزيم methylase RNA *erm* (38)، وأدرج الإرثرومایسين ضمن قائمة المضادات الحيوية التي تُجا به بمقاومة عالية من قبل *S. mutans* حيث وصلت نسبة المقاومة في بعض السلالات إلى 100% (39) وهي مقاربة من نسبة المقاومة لمركبات الماكرولييدات في الدراسة الحالية. كما أن التباين الملحوظ الذي أظهرته عزلات *S. mutans* في مقاومتها للمضادات الحيوية المستخدمة قد يعود سببه إلى التنوع في آليات المقاومة من خلال إنتاج إنزيمات البيتا-الاكتام المُثبطة لهذه المضادات أو من خلال تغيير موقع إرتباط البروتينات الرابطة للبنسلين Penicillin binding proteins (PBPs) (40). والسبب الآخر يعتمد على عوامل الضراوة للبكتيريا ذاتها؛ إذ تُظهر بعض العزلات مقداراً من المقاومة أكثر من غيرها وأن الإختلاف في ظروف الإختبارات ونوع التقنيات المستخدمة في الدراسة كُل ذلك مُجتمعًا يُوجِد إختلافاً في مستويات المقاومة (33).

وأكَدَ (41) بأن المقاومة لمركبات البنسلين (Penicillins) لا تشمل فقط إنتاج إنزيم البنسلين وإنزيمات البيتا-الاكتام بل يتعدى ذلك إلى إنتاج البروتينات الرابطة للبنسلين (PBPs) الواقعة في الغشاء الساينوبلازمي المرتبط بجدار الخلية، وتمتلك هذه البروتينات فعالية إنزيمية مثل

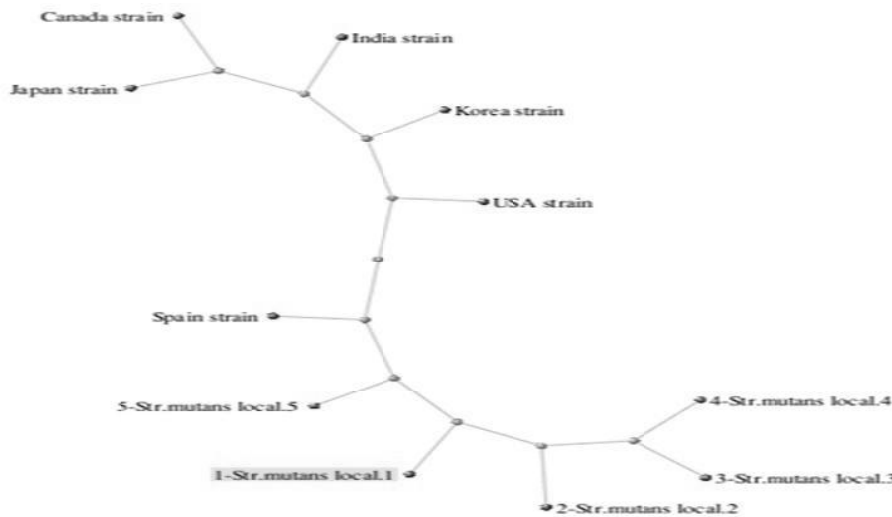


**شكل (5): الترхيل الكهربائي لمورثة 16S ribosomal RNA المتضاعفة باستخدام تقنية الـ *S. mutans* لعuzلات (PCR)**

M = المعلم القياسي (1000 bp)  
 $S. mutans$  (12 – 1)  
 ظروف الترخيل: هلام الأكاروز (0% ) ، فرق الجهد (80 فولت) ، الزمن (95 دقيقة)

أقل عند مقارتها بالعuzلات القياسية الكورية (AJ554208.1) والأمريكية (DQ677785.1) والكندية (AY188348.1) واليابانية (DQ303189.1) والهندية (JX678701.1) كما في شكل (7) وملحقة (2) و 3 و 4 و 5 و 6) التي تبيّن التشابه ما بين العuzلات المحلية مع العزلة الأسبانية في الموقعين النيوكلوبوتيدين (14 و 15) اللذان يمتللان (TT).

2- الكشف عن تسلسل القواعد النتروجينية لمورثة 16S rRNA في عuzلات *S. mutans* أجري الكشف عن تتابع تسلسل القواعد النتروجينية لمورثة 16S rRNA في عuzلات *S. mutans* لبيان أوجه التشابه والإختلاف مع عuzلات *S. mutans* القياسية العالمية من خلال تحليل تتابع تسلسل المورث بوساطة الشجرة الوراثية Phylogenetic tree analysis (شكل – 6) إذ أظهرت نتائج تحليل الشجرة الوراثية Phylogenetic tree *S. mutans* analysis لمورثة 16S rRNA في عuzلات *S. mutans* Spain المحلية وجود تقارب مع العزلة القياسية الأسبانية



شكل (6): تحليل العلاقة في الشجرة الوراثية لسلالة *S. mutans* المحلية مع السلالات العالمية منها (الإسبانية والهندية والكورية والأمريكية والكندية واليابانية) لتسلاسل مورثة 16s rRNA الأساسية.

Japan	GTAATAACGTAGGTCCCAGCGTIGTCGGATTATGGGCGTAAAGGGAGCGCAGGC99-	587
India	GTAATAACGTAGGTCCCAGCGTIGTCGGATTATGGGCGTAAAGGGAGCGCAGGC99-	545
Korea	GTAATAACGTAGGTCCCAGCGTIGTCGGATTATGGGCGTAAAGGGAGCGCAGGC99-	596
USA	GTAATAACGTAGGTCCCAGCGTIGTCGGATTATGGGCGTAAAGGGAGCGCAGGC99-	598
Canada	GTAATAACGTAGGTCCCAGCGTIGTCGGATTATGGGCGTAAAGGGAGCGCAGGC99-	574
Spain	GTAATAACGTAGGTCCCAGCGTIGTCGGATTATGGGCGTAAAGGGAGCGCAGGC99-	410
4-Str.mutans	-----	CAGGCCGAGGC99-
5-Str.mutans	-----	CAACCCGAGGC99-
2-Str.mutans	-----	CAACCCGAGGC99-
1-Str.mutans	-----	CACCCCGAGGC99-
3-Str.mutans	-----	CACCCCAAGGC99-
	*****	*****
Japan	TCAGGAAAAGTCTGGAGTAAAGGCTAIGGCTCAACCATAGTGTGCTCTGGAAACTGCTG	647
India	TCAGGAAAAGTCTGGAGTAAAGGCTAIGGCTCAACCATAGTGTGCTCTGGAAACTGCTG	605
Korea	TCAGGAAAAGTCTGGAGTAAAGGCTAIGGCTCAACCATAGTGTGCTCTGGAAACTGCTG	656
USA	TCAGGAAAAGTCTGGAGTAAAGGCTAIGGCTCAACCATAGTGTGCTCTGGAAACTGCTG	658
Canada	TCAGGAAAAGTCTGGAGTAAAGGCTAIGGCTCAACCATAGTGTGCTCTGGAAACTGCTG	634
Spain	TCAGGAAAAGTCTGGAGTAAAGGCTAIGGCTCAACCATAGTGTGCTCTGGAAACTGCTG	570
4-Str.mutans	TCAGGAAAAGTCTGGAGTAAAGGCTAIGGCTCAACCATAGTGTGCTCTGGAAACTGCTG	73
5-Str.mutans	TCAGGAAAAGTCTGGAGTAAAGGCTAIGGCTCAACCATAGTGTGCTCTGGAAACTGCTG	71
2-Str.mutans	TCAGGAAAAGTCTGGAGTAAAGGCTAIGGCTCAACCATAGTGTGCTCTGGAAACTGCTG	72
1-Str.mutans	TCAGGAAAAGTCTGGAGTAAAGGCTAIGGCTCAACCATAGTGTGCTCTGGAAACTGCTG	71
3-Str.mutans	TCAGGAAAAGTCTGGAGTAAAGGCTAIGGCTCAACCATAGTGTGCTCTGGAAACTGCTG	72
	*****	*****
Japan	ACTTGAGTGCAGAAGGGGAGAGTGGAAATCCATGTGAGCGGTGAAAAAGCGTAGATAATA	707
India	ACTTGAGTGCAGAAGGGGAGAGTGGAAATCCATGTGAGCGGTGAAAAAGCGTAGATAATA	665
Korea	ACTTGAGTGCAGAAGGGGAGAGTGGAAATCCATGTGAGCGGTGAAAAAGCGTAGATAATA	716
USA	ACTTGAGTGCAGAAGGGGAGAGTGGAAATCCATGTGAGCGGTGAAAAAGCGTAGATAATA	718
Canada	ACTTGAGTGCAGAAGGGGAGAGTGGAAATCCATGTGAGCGGTGAAAAAGCGTAGATAATA	694
Spain	ACTTGAGTGCAGAAGGGGAGAGTGGAAATCCATGTGAGCGGTGAAAAAGCGTAGATAATA	530
4-Str.mutans	ACTTGAGTGCAGAAGGGGAGAGTGGAAATCCATGTGAGCGGTGAAAAAG	122
5-Str.mutans	ACTTGAGTGCAGAAGGGGAGAGTGGAAATCCATGTGAGCGGTGAAAAAG	120
2-Str.mutans	ACTTGAGTGCAGAAGGGGAGAGTGGAAATCCATGTGAGCGGTGAAAAAG	121
1-Str.mutans	ACTTGAGTGCAGAAGGGGAGAGTGGAAATCCATGTGAGCGGTGAAAAAG	120
3-Str.mutans	ACTTGAGTGCAGAAGGGGAGAGTGGAAATCCATGTGAGCGGTGAAAAAG	121
	*****	*****

شكل (7): الترتيب المتسلسل لجزء من مورثة 16s rRNA في سلالة *S. mutans* المحلية والسلالات العالمية منها (الإسبانية والهندية والكورية والأمريكية والكندية واليابانية) ظاهراً التشابه الأكثر بين السلالة المحلية والسلالة العالمية الإسبانية في المواقعين النيوكلويوتدين 14 و 15.

تشابهها من بين العزلات العالمية. وهذه النتائج تؤكد على صحة تشخيص عزلات *S. mutans* بعد مقارنتها مع عزلات قياسية عالمية لمعرفة سلسل القواعد التتروجينية لمورثة 16s rRNA التي تمثل لمورثة المرجعية (43). Reference gene (Refrence gene) لتشخيص عزلات *S. mutans* وإن التشخيص الدقيق على المستوى الجزيئي المتمثل بمعرفة التشابه له العزلات له فائد تشخيصية فضلاً عن إمكانية لاستخدام بعضها من هذه العزلات في التطبيقات العملية كمعززات حيوية أو دوائية أو في استخدامها لدراسات الوراثة الجزيئية لا سيما أنه لا توجد دراسات سابقة حول تحليل تتبع القواعد التتروجينية لعزلات *S. mutans* في العراق وبالتالي الإستفادة منها في قاعدة البيانات ضمن موقع NCBI الخاص ببنك الجينات (Gene Bank).

**جدول (6): نسب التقارب ما بين سلالات *S. mutans* المحلية والسلالات العالمية منها (الإسبانية والهندية والكورية والأمريكية والكندية واليابانية).**

Homology sequence identity for local <i>S. mutans</i> isolates					Country	Name of the CEV Sequences	Accession Number	ت
<i>S. mutans</i> (5)	<i>S. mutans</i> (4)	<i>S. mutans</i> (3)	<i>S. mutans</i> (2)	<i>S. mutans</i> (1)				
90%	89%	89%	89%	90%	Spain	<i>S. mutans</i> partial 16s rRNA gene, strain CECT 4034	AJ554208.1	1
88%	87%	89%	88%	88%	Japan	<i>S. mutans</i> gene for 16s rRNA, partial sequence	AB294730.1	2
88%	87%	89%	88%	88%	Canada	<i>S. mutans</i> strain ATCC 25175 16s rRNA gene, partial sequence	DQ303189.1	3
88%	87%	89%	88%	88%	India	<i>S. mutans</i> strain P34 16s rRNA gene, partial sequence	JX678701.1	4
88%	87%	89%	88%	88%	Korea	<i>S. mutans</i> strain ChDC YM22 16s rRNA gene, partial sequence	DQ677785.1	5
88%	87%	89%	88%	88%	USA	<i>S. mutans</i> strain ATCC 25175 16s rRNA gene, complete sequence	AY188348.1	6

3- وجود تشابه في الشجرة الوراثية للمورث المحافظ (16S rRNA) بين سلالة *S. mutans* المحلية والسلالة القياسية الإسبانية في المواقعين النيوكليوتيديين 14 و 15.

**ثانياً: التوصيات Recommendations**  
1- إجراء الفحص الدوري للفم للتحري عن وجود المسببات المرضية تحتأً لحدوث الإصابة اللاعرضية، والتي يمكن لها أن تتطور إلى إصابة عرضية تؤثر على حالة الفم.

ويُبين جدول (6) التشابه بين عزلتي *S. mutans* (1) و (5) المحلية مع العزلة الأسبانية بنسبة 90% بينما بلغت نسبة تشابه العزلة الأسبانية مع العزلات المحلية (2 و 3 و 4) 89% لكل واحدة بالتساوي. وفيما يتعلق بالعزلات القياسية اليابانية والكندية والهندية والكورية والأمريكية فإنها أعطت جميعاً نسبة تشابه متساوية فيما بينها لكل عزلة من عزلاتنا المحلية؛ إذ بلغت نسبة تشابه العزلة المحلية الأولى مع العزلات القياسية المذكورة 88% والعزلة الثانية 88% والثالثة 89% والرابعة 87% الخامسة 88% على التوالي.

إن الغرض من الـ DNA sequencer هو توكيد لعزلتنا (*S. mutans*) بالإضافة إلى معرفة مع من يكون

**جدول (6): نسب التقارب ما بين سلالات *S. mutans* المحلية والسلالات العالمية منها (الإسبانية والهندية والكورية والأمريكية والكندية واليابانية).**

### الاستنتاجات والتوصيات Conclusions and Recommendations

أولاً: الاستنتاجات Conclusions

- 1- سيادة بكتيريا *S. mutans* كمسبب رئيس لأ xmax الفم عند الإنسان وخاصةً تسوس الأسنان الذي له دوراً كبيراً في زيادة إنتشار الجراثيم في الفم وتكونها للأغشية الحيوية وخاصة عند توفر الكربوهيدرات.
- 2- قابلية عزلات *S. mutans* على إبداء مقاومة متعددة لعدد من المضادات الحيوية المدروسة لإمتلاكها مورثات عوامل الضراوة وتكون الأغشية الحيوية.

- 11- Lewis, K. (2001). Riddle of biofilm resistance antimicrobial Agents Chemother., 45: 999 – 1007.
- 12- Mathur, T.; Singhal, S.; Khan, S.; Upadhyay, D. J.; Fatma, T. and Rattan, A. (2006). Detection of biofilm formation among the clinical isolates of staphylococci: an elevation of three different screening methods. India J. Med. Microbiol., 24(1): 25 – 29.
- 13- NCCLS (National Committee for Clinical Laboratory Standards) (2003). Performance standards for disks susceptibility testing; approved standard, 6<sup>th</sup> ed. PP: 100-113, Wayne, Pennsylvania, USA.
- 14- CLSI (Clinical and Laboratory Standards Institute) (2013). Performance standards for Antimicrobial Susceptibility Testing; 23<sup>th</sup> Information Supplement 33(1). Wayne, Pennsylvania, USA.
- 15- Collee, J; Gerald, G.; Fraser, F.; Andrew, G.; Marmion, M.; Barrie, P.; Simmon, S. and Anthong, N. (1996). Mackie and McCartney Practical Medical Microbiology. 14<sup>th</sup> ed., Churchill Livingstone, New York, PP: 131–150.
- 16- Simon, L. (2007). The role of *Streptococcus mutans* and oral ecology in the formation of dental caries. J. Microbiol., 2: 510 – 533.
- 17- الزبيدي, أسامة فيصل كوكز (2010). تأثير المعزز الحيوي (Probiotic) المُضَّطَّر من بكتيريا *Lactobacillus acidophilus* على إنتصافياً البكتيريا المعزولة من تسوس الأسنان. رسالة ماجستير. كلية العلوم. جامعة القادسية. العراق.
- 18- الموسوي, علياء موسى على (2006). عزل وتشخيص بعض البكتيريا والخمائر المرافقة لبعض أمراض الفم في مدينة الناصرية وإختبار حساسيتها الدوائية. رسالة ماجستير. كلية التربية. جامعة ذي قار. العراق.
- 19- Landman, D. (2001). Management of infections due to resistance *Staphylococcus aureus*. A. M. J. Infect., 30: 250 – 255.
- 20- Fong, I. W. (2002). Infections and their role in atherosclerotic vascular disease. J. A. M. Dent. Assoc., 133: 75 – 135.

2- الإمتاع عن استخدام المضادات الحيوية بصورة مستمرة وبشكلٍ عشوائي لتأثيرها السلبي على توازن التنوع الجريئي داخل الجسم بشكلٍ عام والفم بشكلٍ خاص.

#### المصادر

- 1- Lamont, R. J. and Jenkinson, H. F. (2010). "Oral Microbiology at a Glance" Wiley Blackwell. Singapore, Hong Kong.
- 2- Donlan, R. M. (2002). Biofilm microbial life on surface. J. Emer. Infect. Dis., 8(9): 881 – 890.
- 3- Rogers, A. H. (2008). Molecular Oral Microbiology. Caister Academic Press.
- 4- Aas, J. A.; Paster, B. J.; Stokes, L. N.; ). 2005 Olsen, I. and Dewhurst, F. E. ( Defining the normal bacterial flora of the oral cavity. J. Clin. Microbiol., 43: 5721 – 5732.
- 5- Roberts, M. C. (2002). Antibiotic toxicity, interactions and resistance development. Periodontology, 28: 28 – 297.
- 6- Ryder, M. A. (2005). Cather-related all about biofilm. Advanced infection it's Practice Nursing, 5(3) :1 – 15.
- 7- Wen, Z. T.; Yates, D.; Ahn, S. – J. and Burne, R. A. (2010). Biofilm formation and virulence expression by *Streptococcus mutans* are altered when grown in dual-species model. B.M.C. Microbiol., 10(111): 1 – 9.
- 8- Han, T. K. (2005). Development of a DNA vaccine against *Streptococcus mutans*: a novel approach to immunization against dental caries. Ph. D. Thesis, College of Arts and Sci., Univ. South Florida, USA.
- 9- Fritsche, T. R.; Swoboda, S. E.; Olson, B. J.; Moore, F. M.; Meece, J. K. and Novicki, T. J. (2011). Evaluation of The Sensititre ARIS2x and Vitek 2 Automated Systems for Identification of Bacterial Pathogens Recovered from Veterinary Specimens. Marshfield labs. Lacrosse Univ. Wisconsin. USA.
- 10- Mainiatis, T.; Fritsch, E. F. and Sambrook, J. (1982). Molecular Cloning: A Laboratory Manual. 2<sup>nd</sup> ed. Cold Spring Harbor Laboratory Press, New York.

- streptococci in related to some carbohydrate substrates. Afric. J. Microbiol. Res., 4(11): 1051 – 1056.
- 30- Leme, A. F. P.; Koo, H.; Bellato, C. M.; Bedi, G. and Curry, J. A. (2006).** The role of sucrose in cariogenic dental biofilm formation – new insight. J. Dent. Res., 85(10): 878 – 887.
- 31- Caglar, E.; Kargul, B. and Tanbogaet, I. (2005).** Bacteriotherapy and probiotics role on oral health. J. Oral Dis., 11: 1 – 7.
- 32- Shemesh, M.; Tam, A. and Steinberg, D. (2007).** Expression of biofilm – associated gene of *Streptococcus mutans* in response to glucose and sucrose. J. Med. Microbiol., 56: 1528 – 1535.
- 33- Brown, T. A.; Ahn, S. J.; Frank, R. N.; Chen, Y. Y.; Lemos, J. A. and Burne, R. A. (2005).** A hypothetical protein of *Streptococcus mutans* is critical for biofilm formation. Infect. Immun. J., 73(5): 3147 – 3150.
- 34- Li, Y. and Burne, R. A. (2013).** Regulation of the *gtfBC* and *ftf* genes of *Streptococcus mutans* in biofilms in response to pH and carbohydrate. Microbiol., 147: 2841 – 2848.
- 35- Shemesh, M.; Tam, A.; Aharoni, R. and Steinberg, D. (2010).** Genetic adaptation of *Streptococcus mutans* during biofilm formation on different types of surfaces. B.M.C. Microbiol., 10(51): 1 – 10.
- 36- Parsek, M. and Singh, P. (2003).** Bacterial biofilm can emerging link to disease pathogenesis. Annul. Rev. Microbiol., 45: 50 – 55.
- 37- Keren, I.; Shah, D.; Spoering, A.; Kadalu, N. and Lewis, K. (2004).** Specialized per sister cells and the mechanism of multi drug tolerance in *E. coli* bacterial. 186: 8172 – 8180.
- 38- Jorgensen, J. H.; Crwford, S. A.; McElmeel, M. L. and Fiebelkorn, K. R. (2004).** D–zone test clindamycin resistance of staphylocci in conjunction with performance of automatically detection. J. Clin. Microbiol. Infect. Dis., 42: 1800–1802.
- 21- الحسيني, عدي متubb هادي (2002).** دراسة مايكروباليوجية لمسببات تسوس الأسنان والتهاب اللثة وما حول السن والخراجات حول الجذر في محافظة النجف. رسالة ماجستير. كلية العلوم. جامعة الكوفة. العراق.
- 22- Rouabchia, M. and Chmielewski, W. (2012).** Disease associated with oral poly microbial biofilms. The open Mycol. J., 6: 27 – 32.
- 23- Waltimo, T. M. T.; Siren, E. K.; Torkko, H. L. K.; Olsen, I. and Hapaseko, M. P. P. (1997).** Fungi in therapy – resistant apical periodontitis. Int. Endod. J., 30: 96 – 101.
- 24- AL – Aswad, J. D. (1999).** Prevalence and microbiology of oral mucosal lesion in a sample of complete denture wearers. M. SC. Thesis in Oral Medicine, College for Dentistry – University of Baghdad. Iraq.
- 25- Sulaiman, A. W. (2000).** Quantitative measurement of urea content in saliva, acquired pellicle and dental caries susceptibility in human adults. M. SC. Thesis in Preventive Dentistry, College of Dentistry – University of Baghdad. Iraq.
- 26- Duarte, S.; Klein, M. I.; Aires, C. P.; Cury, J. A.; Bowen, W. H. and Koo, H. (2008).** Influences of starch and sucrose on *Streptococcus mutans* biofilms. Oral Microbiol. Immunol., 23: 206 – 212.
- 27- Bedran, T. B. L.; Azelmat, J.; Spolidorio, D. and Grenier, D. (2013).** Fibrinogen-induced *Streptococcus mutans* biofilm formation and adherence to endothelial cells. BioMed. Res. Int., 10: 1155 – 1163.
- 28- Ghasempour, M.; Rajabnia, R.; Irannejad, A.; Hamzeh, M.; Ferdosi, E. and Bagheri, M. (2013).** Frequency, biofilm formation and acid susceptibility of *Streptococcus mutans* and *Streptococcus sobrinus* in saliva of preschool children with different levels of caries activity. Dent. Res. J., 10(4): 440 – 445.
- 29- Tahmourespour, A.; Kermanshahi, R. K.; Salehi, R. and Pero, N. G. (2010).** Biofilm formation potential of oral

Mechanistic basis for the action of new cephalosporin antibiotics effective against methicillin and vancomycin resistant *Staphylococcus aureus*. J. Biol. Chem. 281: 10035–10041.

**43- Lal, D.; Verma, M. and Lal, R. (2011).** Exploring internal features of 16S rRNA gene for identification of clinically relevant species of the genus streptococcus. Annals Clin. Microbiol. Antimicrob., 10: 28 – 39.

**44- Kawamura, Y.; Hou, X. G.; Sultana, F.; Liu, S.; Yamamoto, H. and Ezaki, T. (1995).** Determination of 16S rRNA sequences of *Streptococcus mitis* and *Streptococcus gordonii* and phylogenetic relationships among members of the genus Streptococcus. Int. J. Syst. Bacteriol., 45: 406 – 408.

- Leclercq, R. and Courvalin, P. (1999). 39 Bacterial resistance to macrolide, lincosamide and streptogramin antibiotics by target modification. *Antimicrob. Agents Chemother.*, 35: 1267 – 1272.

**40- Hiramatsu, K.; Cui, L.; Kuroda, M. and Ito, T. (2001).** The emergence and evolution of methicillin resistant *aureus*. Trends. *Staphylococcus Microbiol.*, 9: 486–493.

**41- Fuda, C.; Suvorov, M.; Vakulenko, S. B.; and Mobashery, S. (2004).** The basis for resistance to beta – lactam antibiotics by penicillin binding protein 2a of methicillin – resistant *Staphylococcus aureus*. J. Biol. Chem., 279: 40802– 40806.

**42- Fuda, C.; Hesek, D.; Lee, M.; Heilmayer, W.; Novak, R.; Vkulenko, S. B.; and Mobashery, S. (2006).**

\***Phenotypic and molecular characterization of *Streptococcus mutans* bacteria isolated from the mouth and test their ability to form biofilms and their resistance to antibiotics**

Received :12/3/2014

Accepted :8/6/2014

**Wafaa A. J. Al-Kaaby**

**Dept. Biology - College of Education  
AL-Qadisiya Univ.**  
[alkaaby@yahoo.com](mailto:alkaaby@yahoo.com)

**Adnan H. Al-Hamadani**

**Dept. Microbiology - Medicine college  
AL-Qadisiya Univ.**

**Majed K. A. Al-Shebli**

**Dept. Biology - College of Education  
AL-Qadisiya Univ.**

**Abstract:**

A total of 479 bacterial isolates were collected from 409 swabs from the teeth surfaces teeth and gingiva of the auditors admitted to the centers specialist and dental clinics in Al-Diwaniya city for different ages by specialist doctor on period from 1/11/2012 AC till 1/3/2013 AC.

Bacterial isolates diagnosed by Vitek compact 2 system to positive and negative gram stain head it *Streptococcus* spp. by highest percentage of 31.52%, followed by *Staphylococcus* spp. by 20.45% and *Lactobacillus* spp. by 12.52% and *Candida* spp. by 10.64%, and follow then some germs that made a few percentages compared to the bacteria mentioned, also *S. mutans* obtain among microbial species isolated from teeth surfaces and gingiva frequency highest in the number of isolates (56 isolate) and tested their on biofilm formations; then 44 isolation (44.64%) high formations, 16 isolation (28.57%) medium formations and 15 isolation (26.79%) non biofilm formations. The impact of carbohydrates appear apparent on *S. mutans* isolates in biofilm formations on bio-growth medium; then amounted to the presence of sucrose 35.71%, followed by glucose with fructose together in the medium (25.00%) then glucose (16.07%) and fructose (12.50%), while the percentage of carbohydrates absence in the growth medium 10.71%.

The drug sensitivity of *S. mutans* isolates were tested trend 11 antibiotic by using disks diffusion method which showed that the resistance of isolates to antibiotics was higher than the sensitivity of her as well as they were increase after biofilm formations; where resistant isolates convey to Erythromycin before and after biofilm formations (98.21 and 94.64)% , Amoxicillin (85.71)% each for both, and Ampicillin (80.35 and 83.92)% , Nalidixic acid (80.35 and 87.50)% , Cefotaxime (69.64 and 75.00)% , Chloramphenicol (69.64 and 89.28)% , Amoxicillin-Clavulanic acid (58.92 and 76.78)% , Gentamicin (57.14 and 78.57)% , Tetracycline (55.35 and 66.07)% each respectively, while showed high sensitivity to Amikacin (25.00 and 48.21)% and Trimethoprim sulfamethaxale (7.14 and 19.64)% each, respectively. 12 isolates elected tested from the 56 isolates of *S. mutans*; as a biofilm producer and more resistant to antibiotics and were containing 16s RNA gene was representing diagnostic gene for these bacteria using polymerase chain reaction (PCR) technique, results also showed DNA sequences of the conservative gene (16s rRNA) in isolates of *S. mutans* biofilm formations and by means of phylogenetic tree analysis for that gene, the similarity appeared between *S. mutans* local strain with Spain standard strain (AJ554208.1) in 14 and 15 nucleotide locations.

**Key words:** Phenotypic, *Streptococcus mutans*, Biofilms, Antibiotics, molecular characterization

\*The Research is a part of Ph. D. Dissertation in the case of first researcher.